

# Résistance des matériaux

1

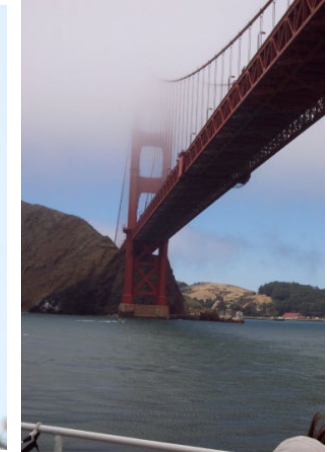
## Flexion

Rappels de statique, hyperstatique

Flexion simple, états de contraintes, déformations

Méthode des équations différentielles, déformées

Flexion combinée

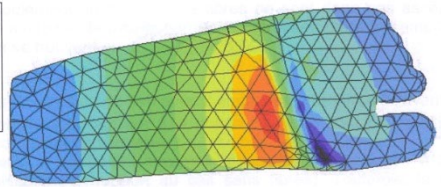
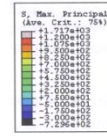


## Energies de déformation élastique

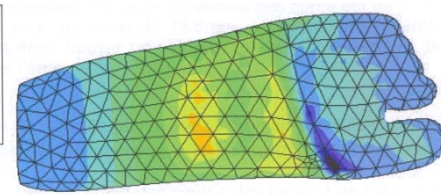
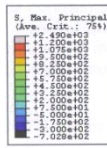
Critères de performance

Concentrations de contraintes

Les limites de l'élasticité



$$\sigma_{max} = 1.2 \text{ MPa}$$

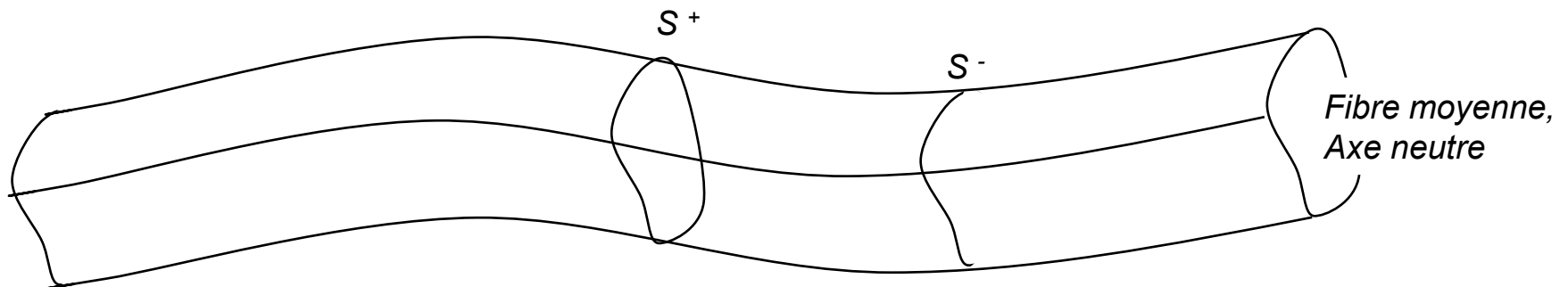


$$\sigma_{max} = 0.85 \text{ MPa}$$

# Flexion

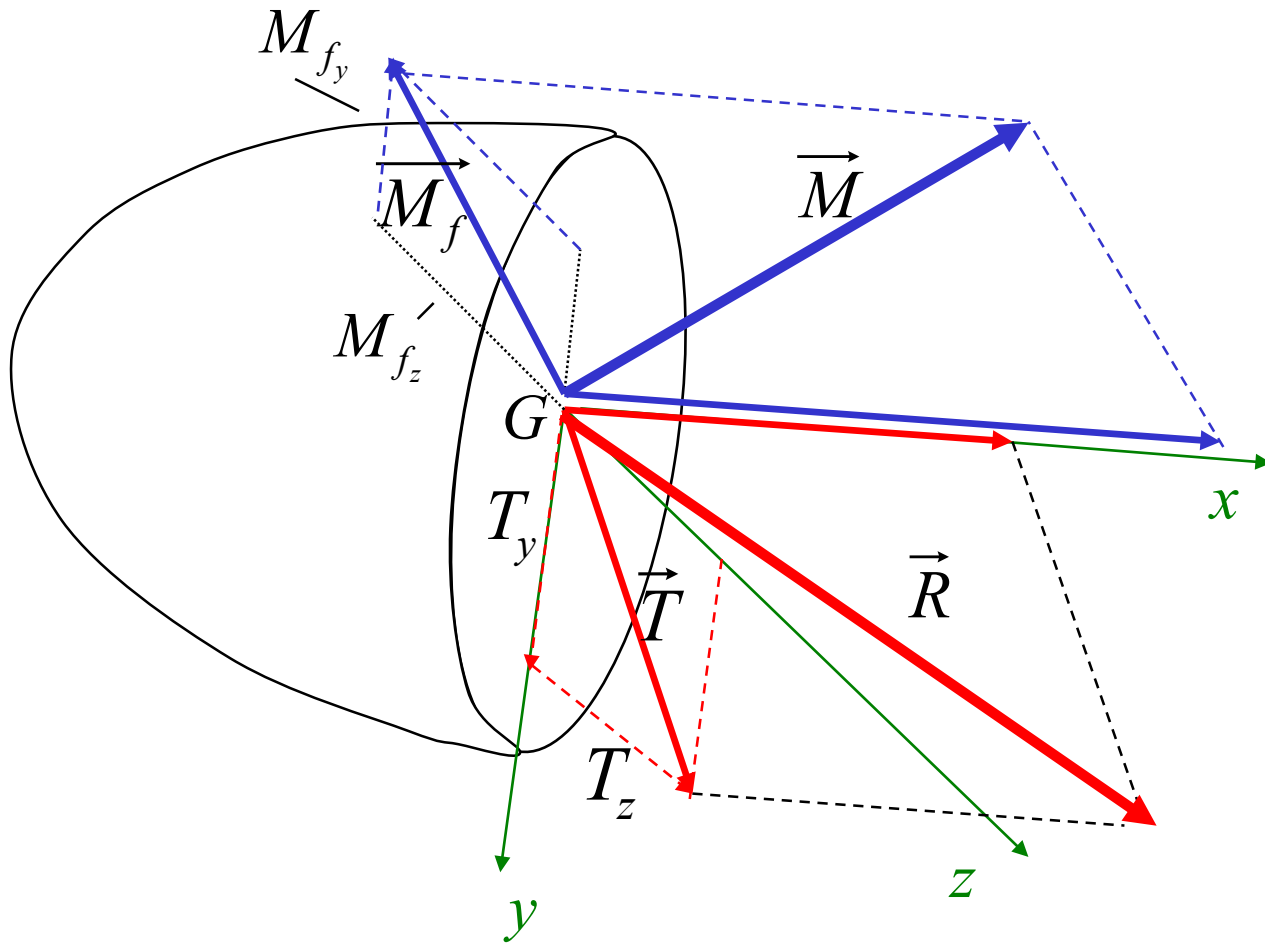
3

- pure, simple, combinée
- poutres, poutres droites
- contraintes normales
- déformations
- les équations différentielles
- calculs de poutres
- contraintes tangentielles
- état de contraintes, isostatiques
- déformées de poutres
- superposition et poutres hyperstatiques



# Flexion

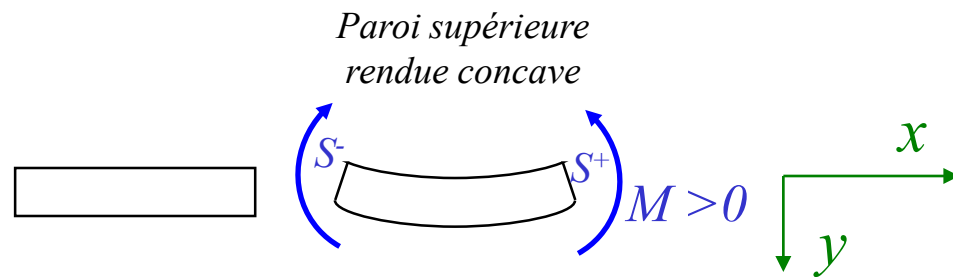
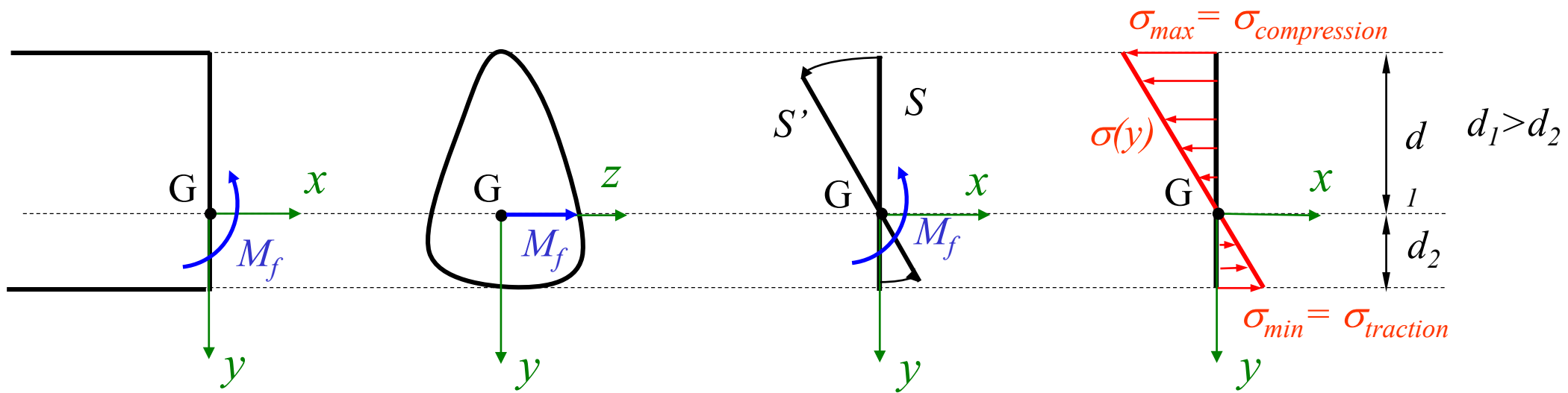
4



- Combinée  $M_f + M_t$
- Simple Torseurs  $\equiv \overrightarrow{M}_f$  et  $\overrightarrow{T}$   $\perp$  entre eux
- Pure  $\vec{T} = 0$ ,  $(\Rightarrow \overrightarrow{M} = \text{cste})$
- (H) •  $M_f$  ne comporte que  $M_{f_z} = M \perp$  à  $Gxy$  le plan de flexion
- (H) • La fibre moyenne est une droite confondue avec l'axe  $Gx$
- (H) • S se déduit de S par simple rotation autour de  $Gz$   
 $\Rightarrow$ Bernoulli OK

# Flexion

5



*Paroi supérieure  
rendue concave*

*Fibres dans la  
direction  $y>0$  sont  
sous traction*

Les équations d'équilibre de la section sont toutes nulles sauf  $M = \iint_s \sigma \cdot y \cdot dS$

$$\left. \begin{aligned} M &= K \iint_s y^2 dS \\ &\quad \underbrace{\iint_s}_{=I_z} \end{aligned} \right\}$$

$S'$  par rotation de  $S \Rightarrow \sigma \approx y \equiv \sigma = K \cdot y$

$$\Rightarrow K = \frac{M}{I_z}$$

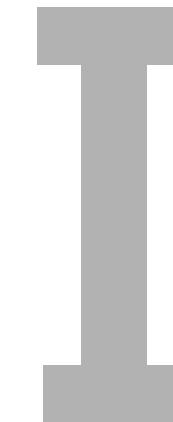
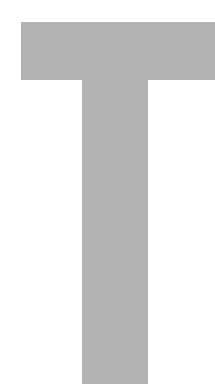
$$\Rightarrow \sigma = \frac{M}{I_z} \cdot y$$

- $\sigma = 0$  sur  $G_z$  ou  $y = 0 \equiv$  axe neutre de la section
- $\sigma > 0$  pour  $y > 0$
- $\sigma < 0$  (compression) pour  $y < 0$
- $\sigma_{\max} = \frac{M}{I_z} \cdot d_1 \quad , \quad \sigma_{\min} = \frac{M}{I_z} \cdot d_2$
- $\frac{I}{d_i} =$  Moment de résistance à la flexion  $\equiv W_i$

# Design

7

Sections de même surface (=même quantité de matière répartie différemment) →  $I$  varie



Si

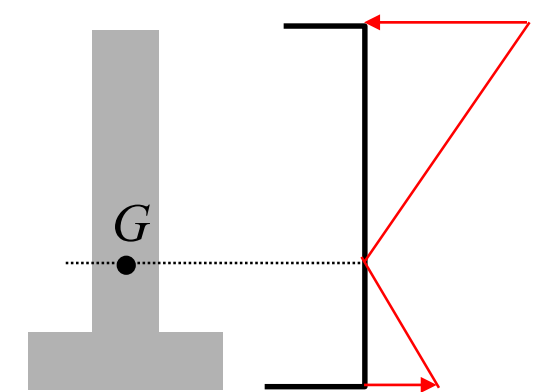
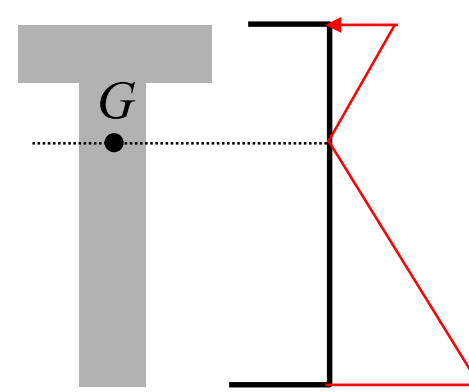
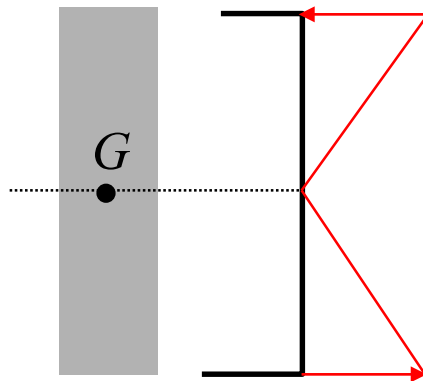
$$I = 1 \Rightarrow$$

$$I = 1,78$$

$$I = 3,06$$

$$I = 7,48$$

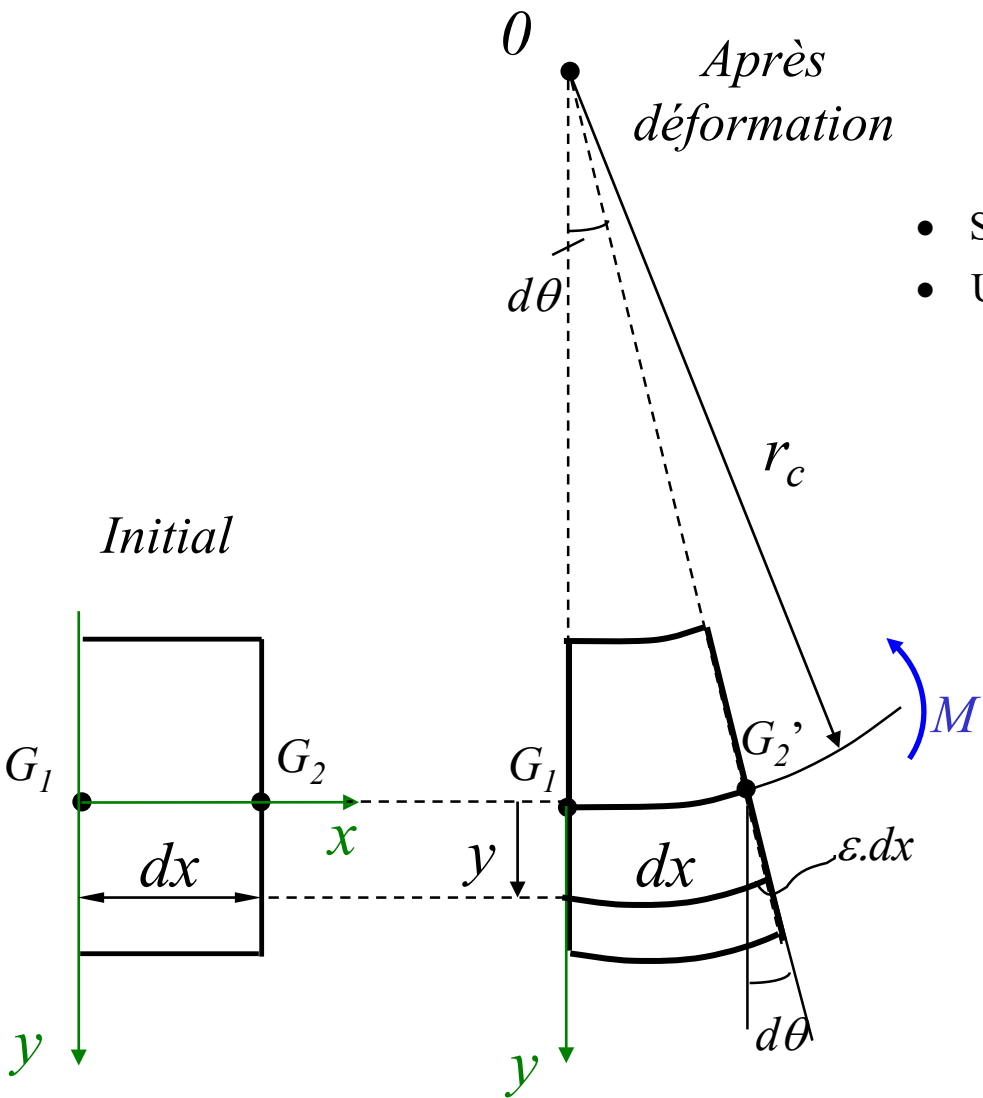
$$I = 8,88$$



*En variant la position de l'axe neutre, on peut varier le rapport  $\sigma_c / \sigma_t$*

# Déformation en flexion pure

8



- Sur l'axe neutre  $\sigma=0 \Rightarrow \overline{G_1G_2}'$  reste  $\overline{G_1G_2}=dx$  et  $r_c \cdot d\theta=dx$
- Une fibre à  $y$  s'allonge de  $\varepsilon \cdot dx$  avec

$$y \cdot d\theta = \varepsilon \cdot dx = \frac{\sigma}{E} \cdot dx = \frac{M}{I} \cdot \frac{y}{E} dx$$

$$\rightarrow d\theta = \frac{M}{E \cdot I} \cdot dx$$

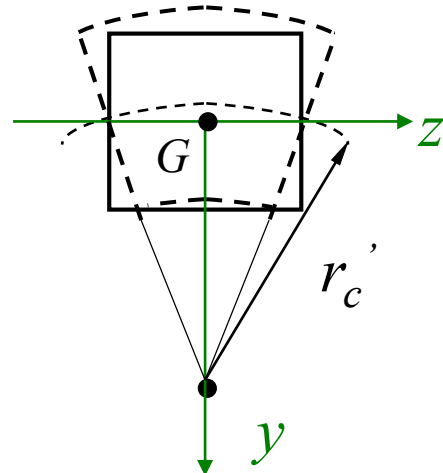
$$\boxed{\frac{1}{r_c} = \frac{M}{E \cdot I}}$$

## Remarque

9

Déformation latérale  $\equiv$  dilatation et contraction dues aux  $\sigma_{normales}$

Vu la distribution des  $\sigma$  il est facile de voir qu'une section rectangulaire se déforme comme:



*Coefficient de Poisson*

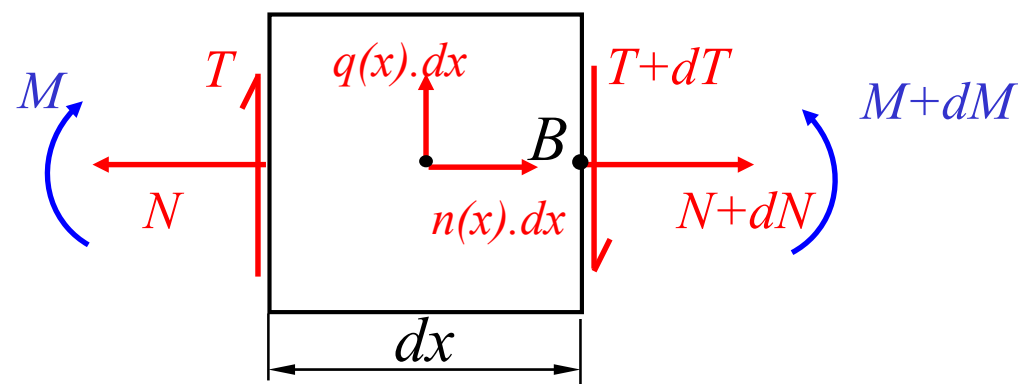
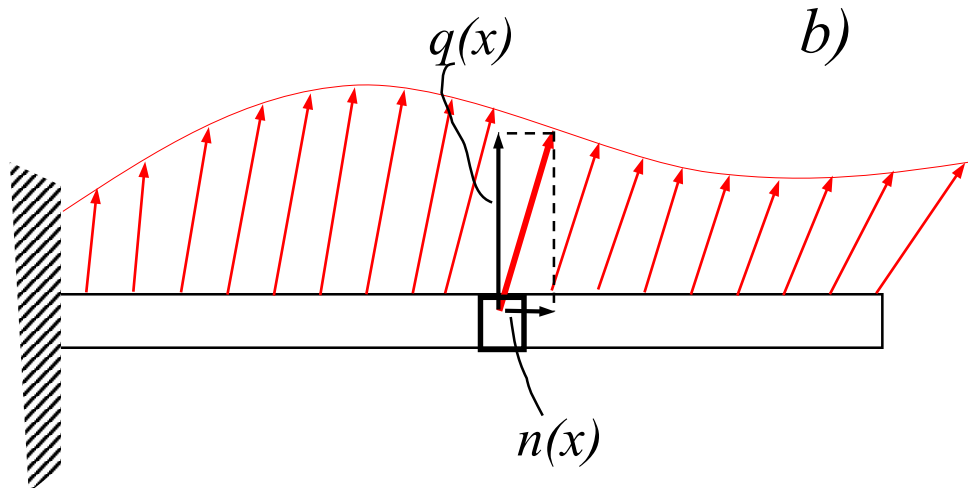
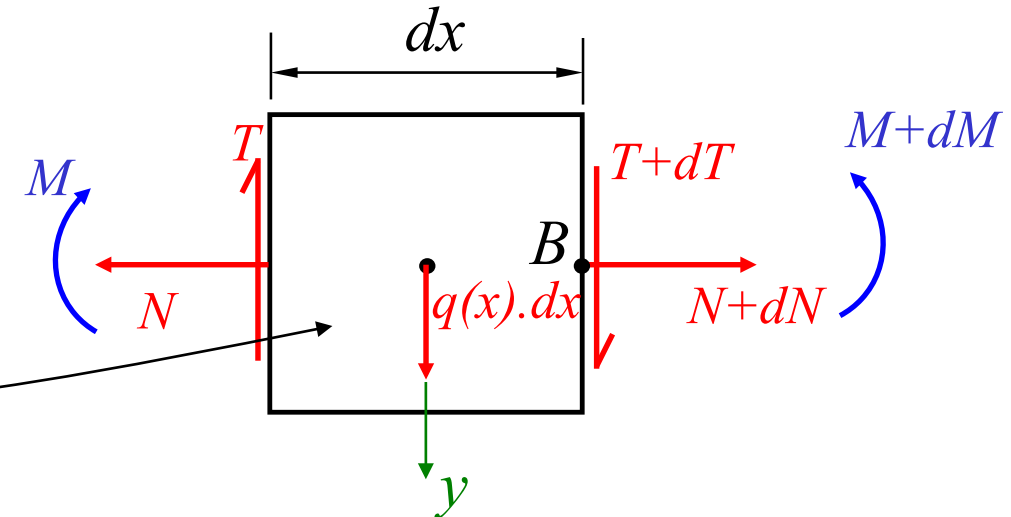
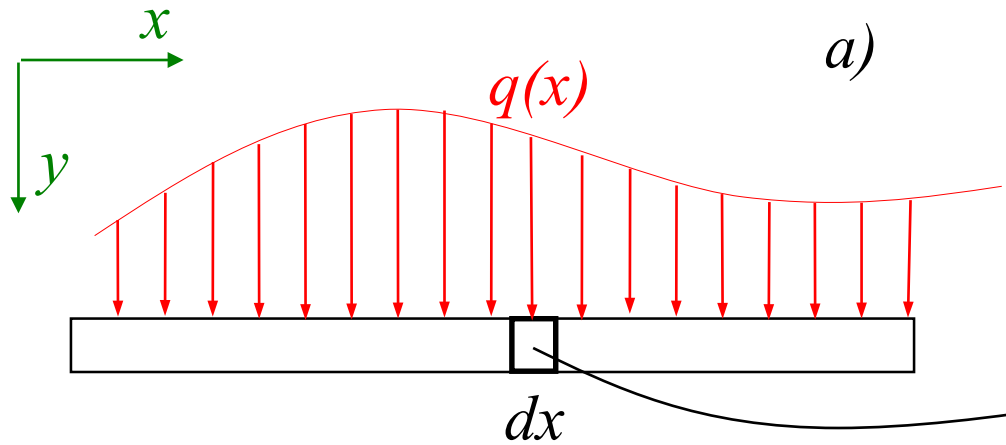
$$\frac{1}{r_c'} = \frac{\nu}{r_c} = \nu \frac{M}{E \cdot I}$$

$$\nu = \frac{r_c}{r_c'}$$

Léger déplacement de l'axe neutre, négligeable en pratique

# Relations entre N, T, M: les équa. diff. de la flexion

10



a)

$$\Sigma F_y = 0 \Rightarrow -T + q(x)dx + T + dT = 0$$

$$\rightarrow \frac{dT}{dx} = -q(x)$$

$$\Sigma M_B = 0 \Rightarrow -M - Tdx + q(x)dx \cdot \underbrace{\frac{dx}{2}}_{\approx 0} + M + dM = 0$$

$$\rightarrow \frac{dM}{dx} = T$$

$$\rightarrow \frac{d^2M}{dx^2} = \frac{dT}{dx} = -q(x)$$

b)

$$\Sigma F_x = 0 \Rightarrow -N + n(x)dx + N + dN = 0$$

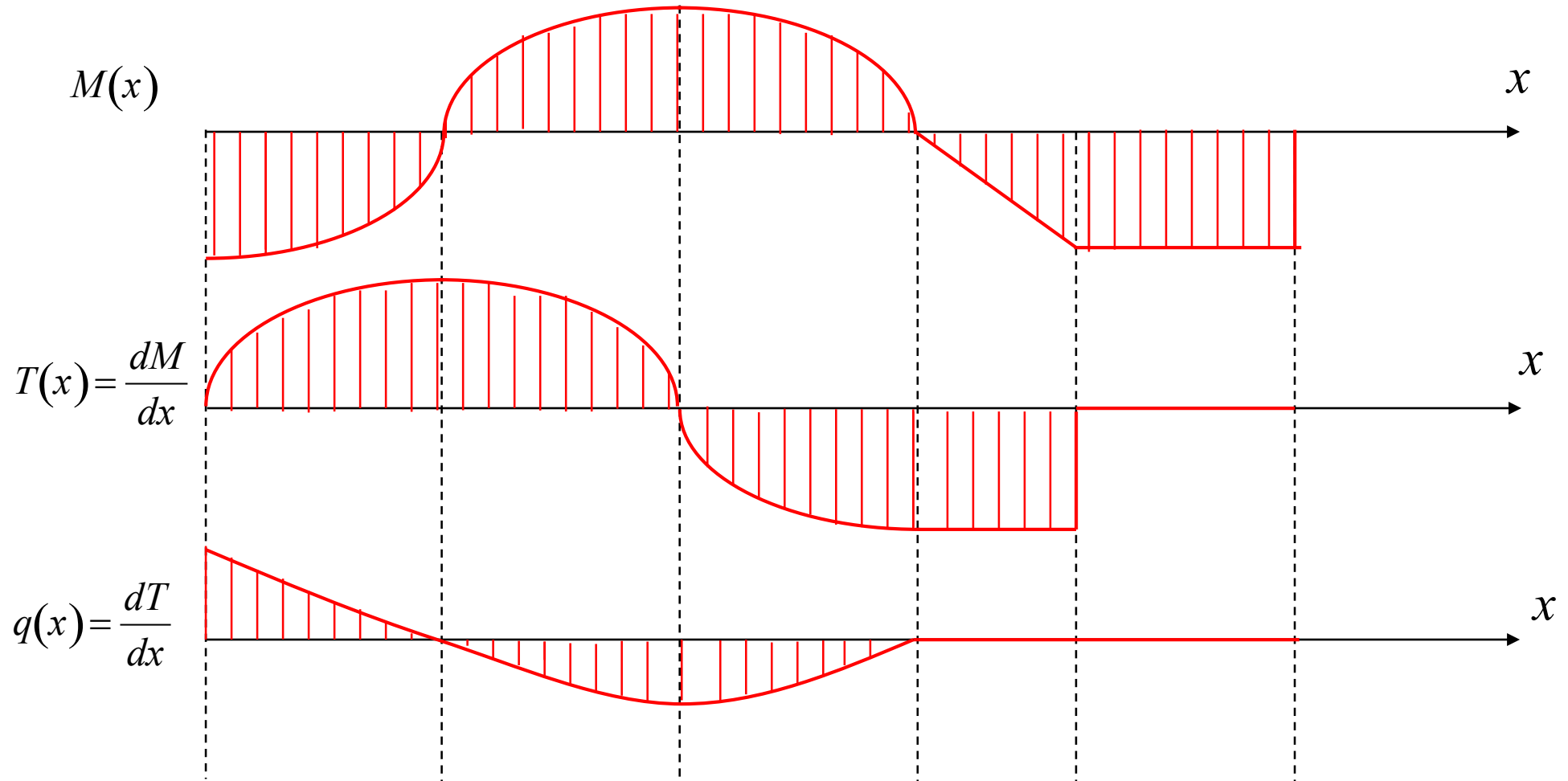
$$\rightarrow \frac{dN}{dx} = -n(x)$$

$$\Sigma F_y = 0 \Rightarrow -T - q(x)dx + T + dT = 0$$

$$\rightarrow \frac{dT}{dx} = q(x)$$

$$\Sigma M_B = 0 \Rightarrow -M - Tdx - q(x)dx \cdot \underbrace{\frac{dx}{2}}_{\approx 0} + M + dM = 0$$

$$\rightarrow \frac{dM}{dx} = T \Rightarrow \frac{d^2M}{dx^2} = q(x)$$



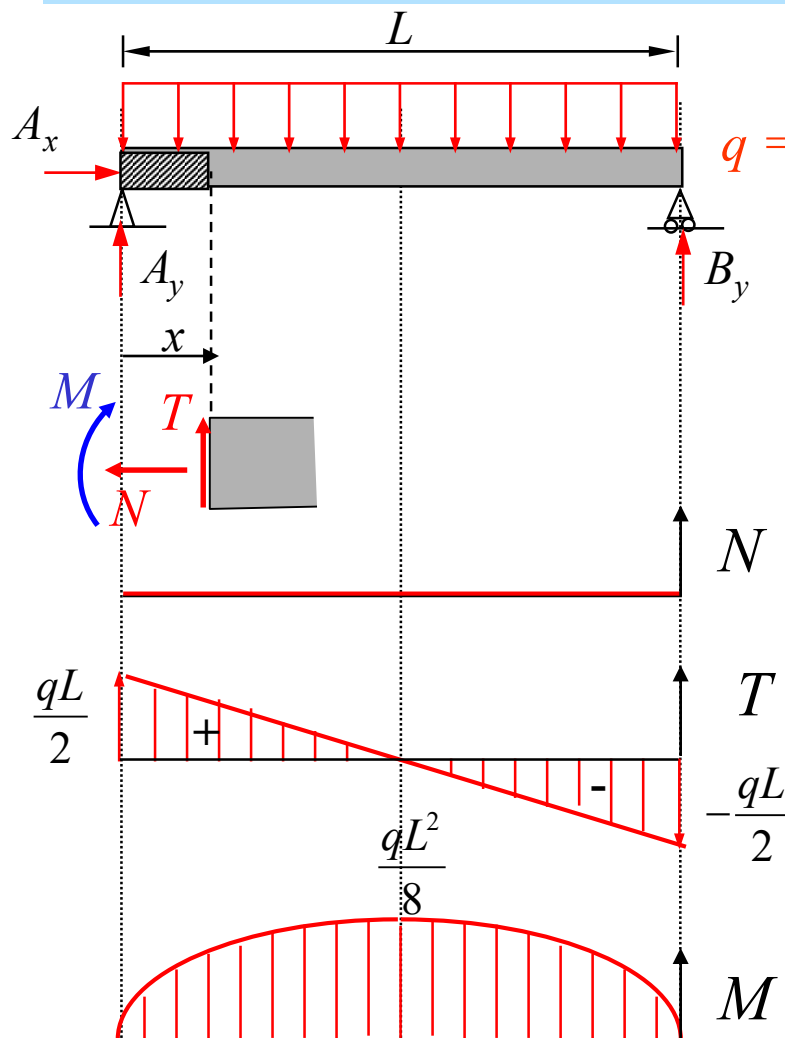
*si  $n(x)=0 \rightarrow N=cste$*

*si  $n(x)=cste \rightarrow N$  varie linéairement en  $x$*

*si  $q(x)=0 \Rightarrow T=cste \rightarrow M$  varie linéairement en  $x$*

# Poutre simple uniformément chargée

13



Equilibre de la poutre

$$\sum \vec{F}_x = 0 \Rightarrow A_x = 0$$

$$\sum \vec{F}_y = 0 \Rightarrow A_y = B_y = \frac{q \cdot L}{2}$$

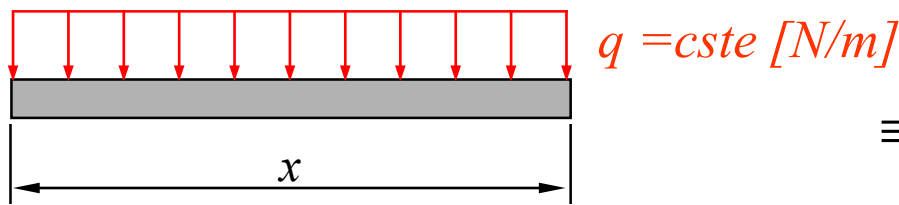
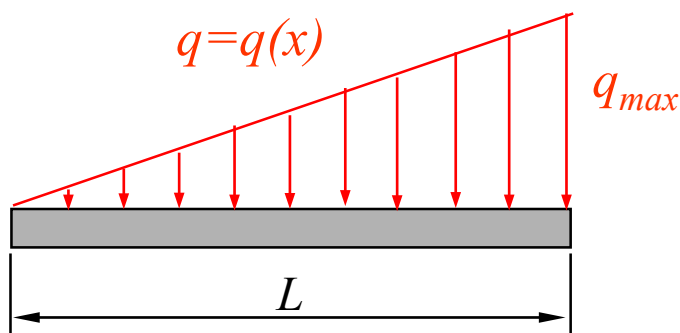
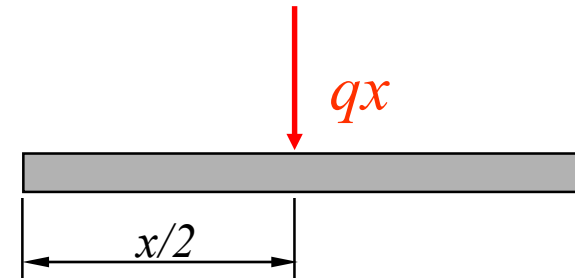
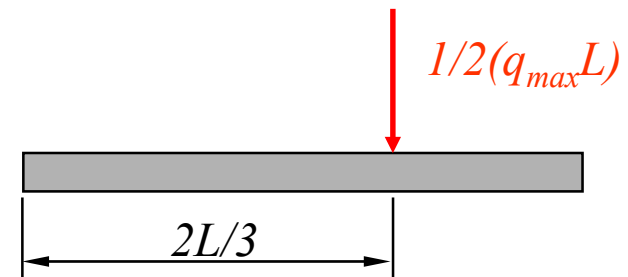
Réduction des efforts dans S à x

- $N(x) = -A_x = 0$
- $T(x) = A_y - q \cdot x = \frac{q \cdot L}{2} - q \cdot x \rightarrow \text{Linéaire}$
- $M(x) = A_y \cdot x - q \cdot x \cdot \frac{x}{2} = \frac{q \cdot L}{2} x - \frac{q \cdot x^2}{2} \rightarrow \text{Parabolique}$

$$M_{\max} \Rightarrow \frac{dM}{dx} = 0 \rightarrow x = \frac{L}{2} \rightarrow M_{\max} = \frac{qL^2}{8}$$

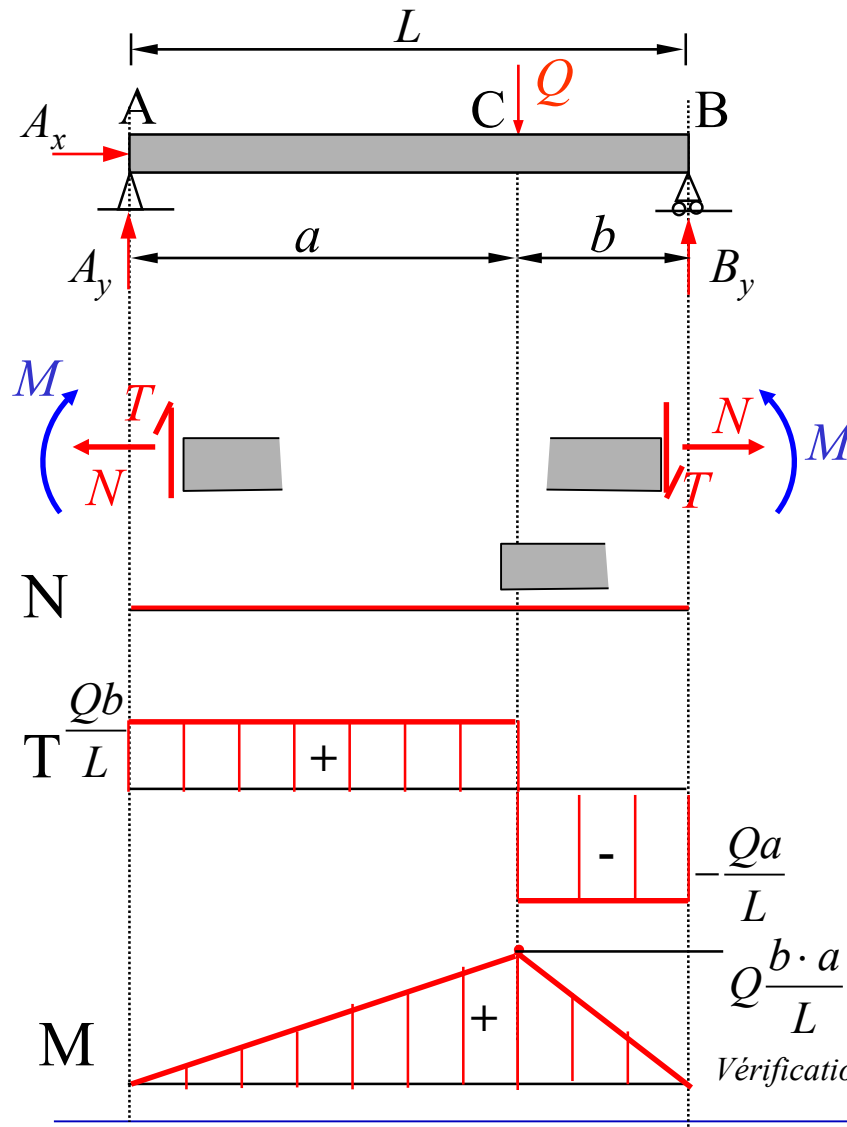
# Distributions de charges

14

 $\equiv$  $\equiv$ 

# Poutre simple avec force transversale concentrée

15



Equilibre de la poutre

$$\sum \vec{F}_x = 0 \Rightarrow A_x = 0$$

$$\sum \vec{M} = 0 \Rightarrow A_y = \frac{Q \cdot b}{L}; B_y = \frac{Q \cdot a}{L}$$

Diagrammes NTM

$$\rightarrow \text{Sur } S_A : N = -A_x = 0; T = A_y = \frac{Q \cdot b}{L}; M = A_y \cdot x = 0$$

$$\rightarrow \text{Sur } S_B : N = 0; T = -B_y = -\frac{Q \cdot a}{L}; M = 0$$

$\rightarrow$  Section proche, juste à gauche de C :

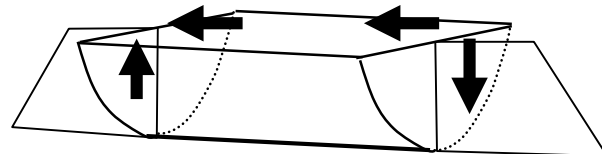
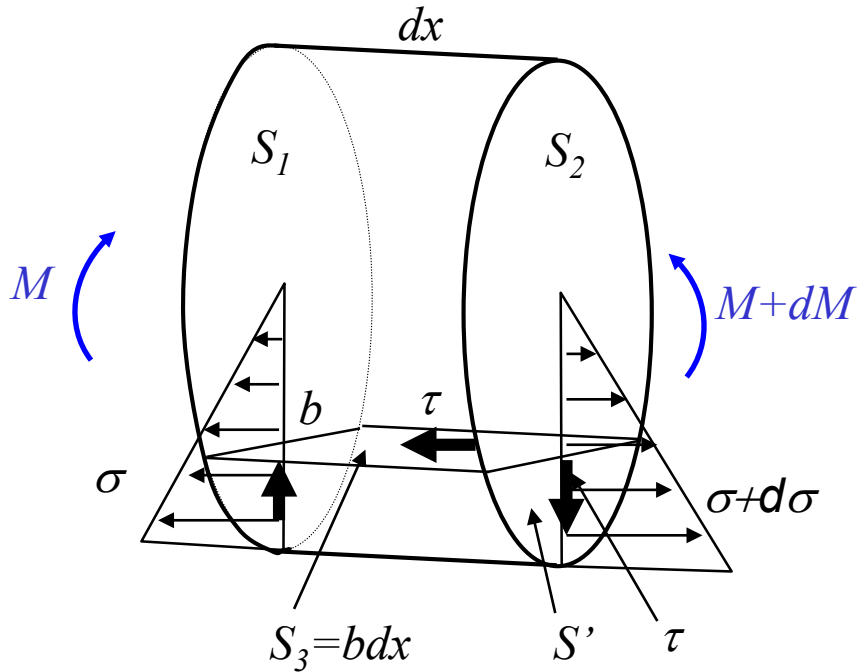
$$N = 0; T = Q \frac{b}{L}$$

$$M = A_y \cdot a = Q \frac{b \cdot a}{L} = M_{\max}$$

Vérification des courbes avec  $\frac{dM}{dx} = T$

# Contraintes tangentielles en flexion simple

16



$$-\int_{S'} \sigma dS' + \int_{S'} (\sigma + d\sigma) dS' - \tau b dx = 0$$

$$\int_{S'} d\sigma dS' = \tau b dx$$

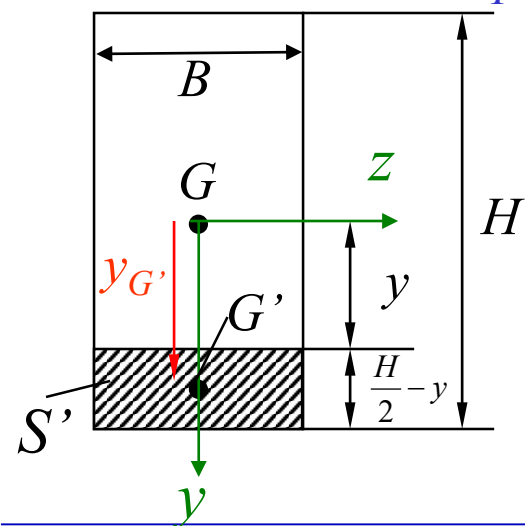
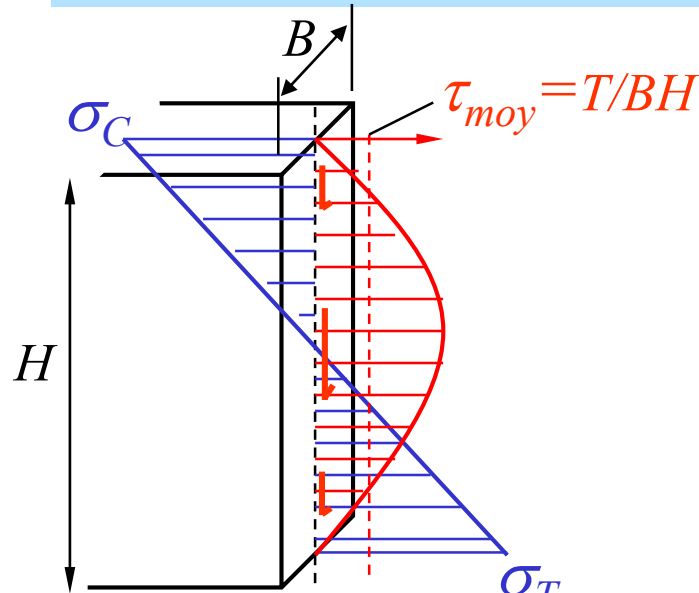
$$\text{mais } \sigma = \frac{My}{I} \text{ donc } d\sigma = \frac{y}{I} \frac{dM}{dx} dx = \frac{y}{I} T dx$$

$$\tau b dx = \frac{T}{I} dx \int_{S'} y dS' = \frac{T}{I} dx M_{S'}$$

$$\tau = \frac{T}{I} \frac{M_{S'}}{b}$$

# Contraintes tangentielles

17



$$\tau = \frac{T \cdot M_{S'}'}{I \cdot b}$$

$$M_{S'}' = \int_{S'} y_{G'} \cdot dS'$$

$$\rightarrow y_{G'} = y + \frac{1}{2} \left( \frac{H}{2} - y \right) = \frac{1}{2} \left( y + \frac{H}{2} \right)$$

$$M_{S'}' = \int_{S'} \frac{1}{2} \left( y + \frac{H}{2} \right) \cdot dS' = B \left( \frac{H}{2} - y \right) \cdot \frac{1}{2} \left( y + \frac{H}{2} \right) = \frac{BH^2}{8} \left( 1 - \left( \frac{y}{H/2} \right)^2 \right)$$

$$I = \frac{BH^3}{12}$$

$$b = B$$

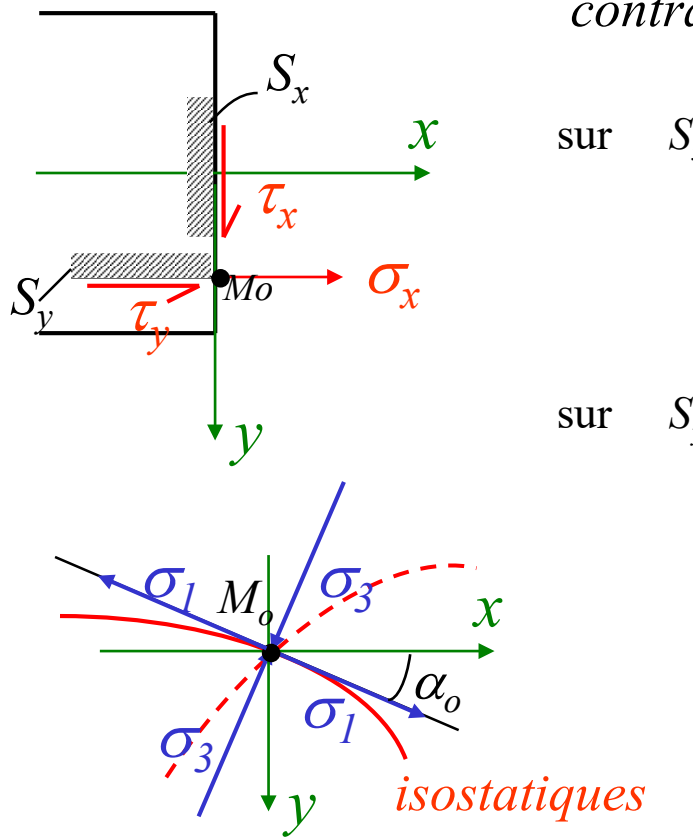
$$\tau = \frac{T \cdot M_{S'}'}{I \cdot b} = \frac{T \cdot \frac{BH^2}{8} \left( 1 - \left( \frac{y}{H/2} \right)^2 \right)}{\frac{BH^3}{12} \cdot b} = \frac{T}{B \cdot H} \cdot \frac{3}{2} \left( 1 - \left( \frac{y}{H/2} \right)^2 \right) = \frac{3}{2} \tau_m \left( 1 - \left( \frac{y}{H/2} \right)^2 \right)$$

$$\boxed{\tau = \frac{3}{2} \tau_m \left( 1 - \left( \frac{y}{H/2} \right)^2 \right)}$$

# Etat de contraintes

18

En Mo d'une section d'une poutre en flexion simple les contraintes sont:



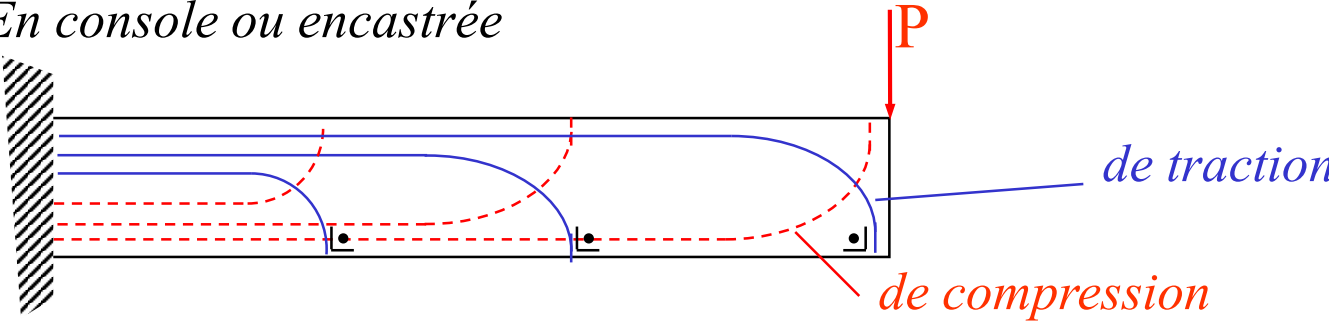
$$\left. \begin{array}{ll} \text{sur } S_x & \sigma_x = \frac{M}{I} y \\ & \tau_x = \frac{T \cdot M_S}{I \cdot b} \\ \text{sur } S_y & \sigma_y = 0 \\ & \tau_y = -\tau_x \end{array} \right\}$$

Donc état bidimensionnel, donc  $K_x$ ,  $K_y$  et le diamètre du cercle de Mohr sont connus, ainsi que la direction  $\alpha_o$  et les contraintes principales

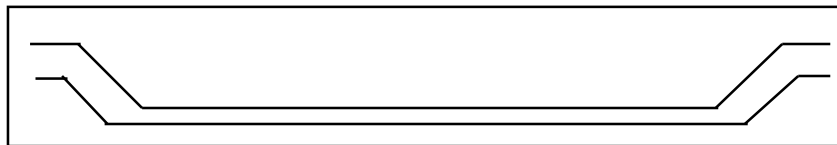
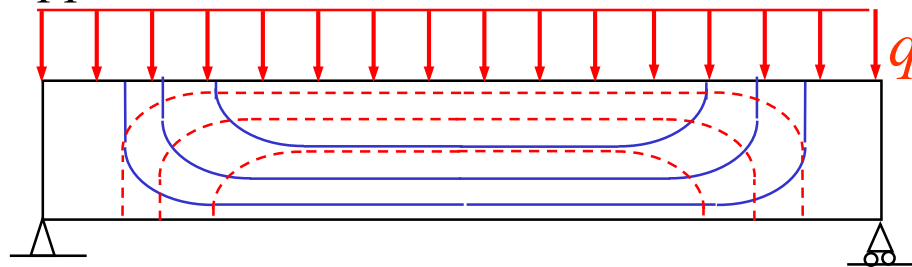
# Les isostatiques

19

*En console ou encastrée*



*2 appuis*

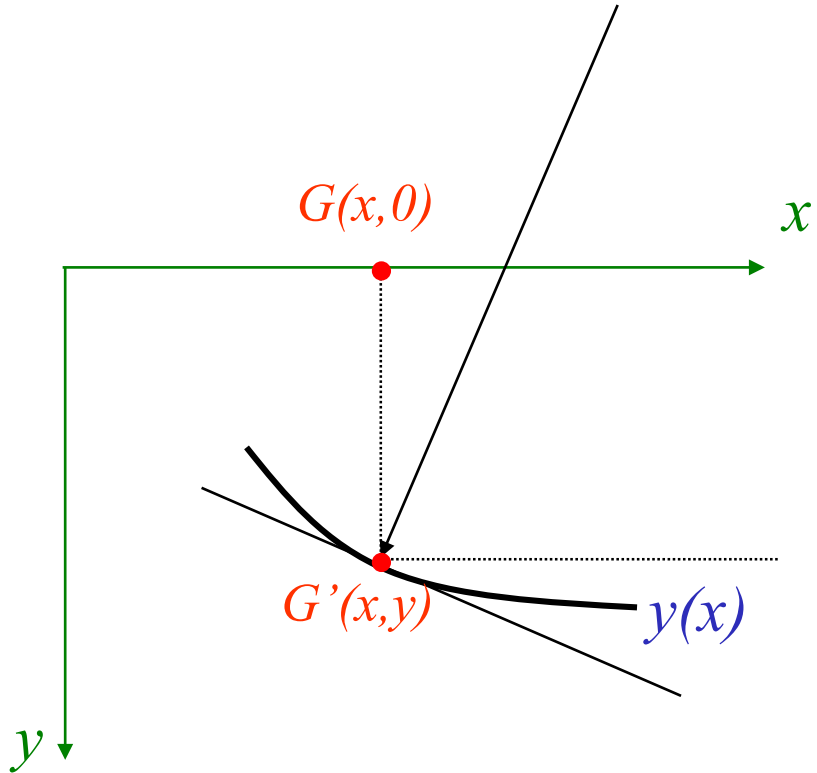


*Armatures de renforts: béton armé, composites*

- Les isostatiques sont des courbes planes identiques pour tous les plans  $z = \text{cste}$
- Tracer les iso       $\leftarrow$  calculer  $\sigma_1, \sigma_2, \sigma_3$ , en plusieurs points
  - $\leftarrow$  équation différentielle, résoudre numériquement
  - $\leftarrow$  jauge de déformation, de contraintes
  - $\leftarrow$  vernis craquants
  - $\leftarrow$  photoélasticité
- Les isostatiques sont tangentielles aux fibres extérieurs car  $\tau = 0$  sur les bords
- Les isostatiques se rencontrent sur l'axe neutre avec un angle  $\pm\pi/4$  car on a du cisaillement pur
- Poutre symétrique par rapport à l'axe neutre  $\Rightarrow$  les isostatiques sont symétriques

# Déformée des poutres droites en flexion simple

21



*G(x, 0)*: centre de gravité de la poutre

Déformation  $\Rightarrow$  déplacement vertical de *G*

H Le déplacement horizontal est négligeable ici .

Ce n'est pas le cas pour les lames minces et pour les poutres courbes

*G'(x, y)*

$$\text{La courbure } \frac{1}{r_c} = \frac{M}{E \cdot I}$$

La courbure de  $y(x)$  est donnée par

$$\frac{1}{r_c} = \pm \frac{y''}{(1+y'^2)^{3/2}}$$

Dans le cas H  $y'$  est très petit

$y'^2$  est négligeable

$$\boxed{\frac{1}{r_c} \cong \pm y''}$$

Si  $M > 0$   
la pente  $y'$  diminue

$$\boxed{y'' = -\frac{M}{E \cdot I}}$$

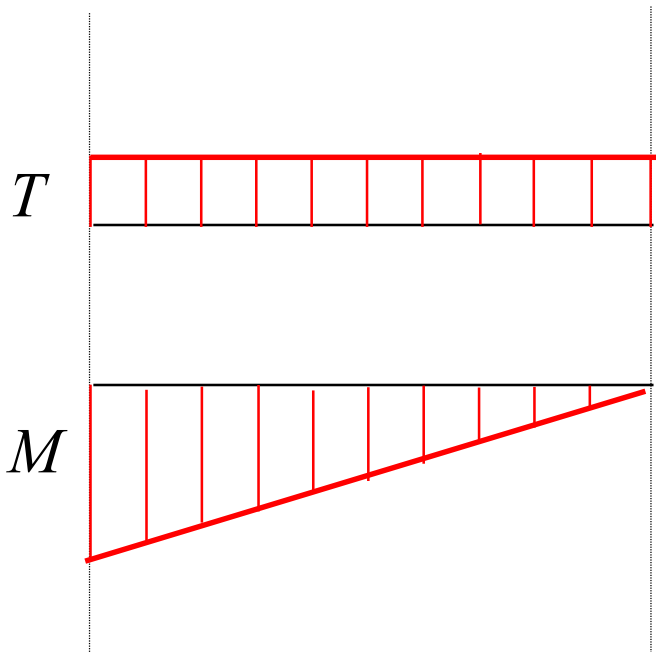
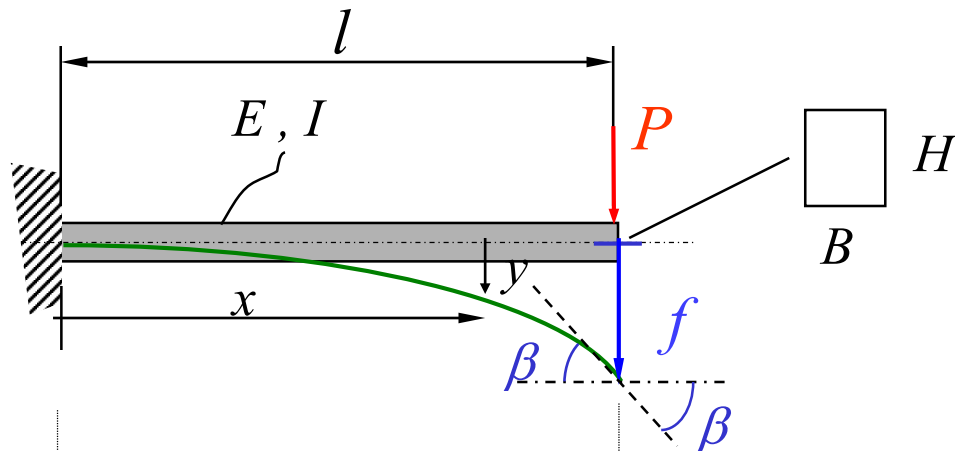
$\Rightarrow y'' < 0$

$$y_T = \underbrace{\eta}_{\substack{\text{coefficient} \\ \text{de forme}}} \frac{T}{G \cdot S}$$

*Cette déformée représente moins de 1%  $\Rightarrow$  négligée*

# Déformée d'une poutre de section rectangulaire en console

24



$$M(x) = -P(l-x)$$

$$y'' = -\frac{M}{E \cdot I}$$

$$E \cdot I \cdot y'' = P(l-x)$$

$$E \cdot I \cdot y' = P l x - \frac{P x^2}{2} + C_1$$

$$E \cdot I \cdot y = \frac{P l x^2}{2} - \frac{P x^3}{6} + C_1 x + C_2$$

1

2

Conditions aux limites

$$x = 0 \quad y' = 0 \text{ donc } C_1 = 0$$

$$x = 0 \quad y = 0 \text{ donc } C_2 = 0$$

$$\Rightarrow y = \frac{P}{6E \cdot I} x^2 (3l - x)$$

$$\text{pente } y'(en x=l) \approx \beta = \frac{P \cdot l^2}{2E \cdot I}$$

2

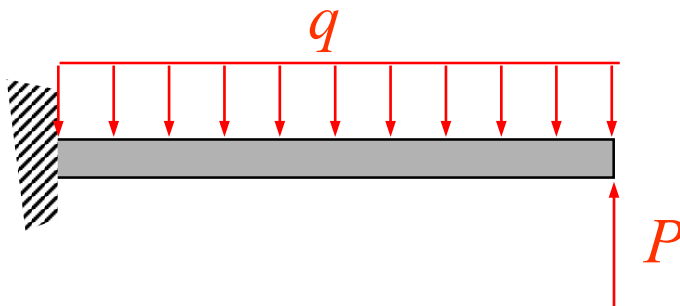
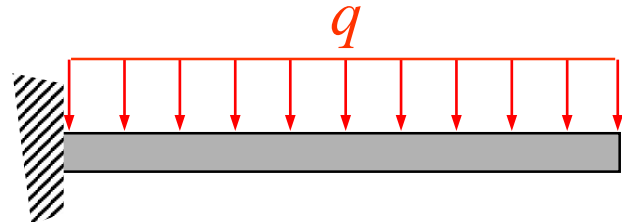
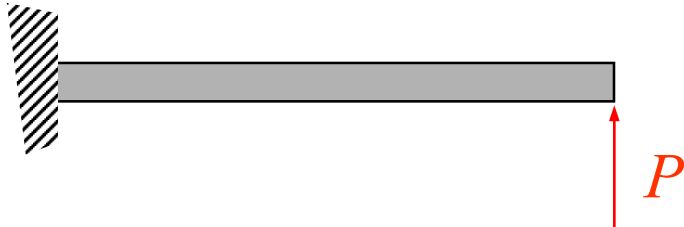
$$\text{avec } x = l \Rightarrow f = \frac{P \cdot l^3}{3E \cdot I}$$

1

Cas de charge	Reactions	$M_{\max}$	Elastique	rotations	flexions
	$R_A = \frac{Pb}{l}$ $R_B = \frac{Pa}{l}$	$+ \frac{Pab}{l}$ pour $x=a$	pour $x < a$ : $y_1 = \frac{P}{6EI} (2ab^2x + a^2bx - bx^3)$ pour $x > a$ : $y_2 = \frac{P}{6EI} (2a^2b(l-x) + ab^2(l-x) - a(l-x)^3)$	$\alpha = \frac{Pab(l+b)}{6EI}$ $\beta = \frac{-Pab(l+a)}{6EI}$	Pour $x=a$ $f_a = \frac{Pa^2b^2}{3EI}$ $f = f_{\max}$ pour $x=a$ $\sqrt{\frac{1}{3} + \frac{2b}{3a}}$ si $a > b$ pour $x=l-b$ $\sqrt{\frac{1}{3} + \frac{2a}{3b}}$ si $a < b$ Si $a=b=l/2$ $f_{\max} = \frac{Pl^3}{48EI}$
	$R_A = \frac{P\ell}{2}$ $R_B = \frac{P\ell}{2}$	$+ \frac{P\ell^2}{8}$	$y = \frac{P}{24EI} (x^4 - 2\ell x^3 + \ell^3 x)$	$\alpha = \frac{P\ell^3}{24EI}$ $\beta = \frac{-P\ell^3}{24EI}$	$f_{\max} = \frac{5}{384} \frac{P\ell^4}{EI}$ pour $x = \frac{\ell}{2}$
	$R_A = -\frac{M}{\ell}$ $R_B = +\frac{M}{\ell}$	$M_A$	$y = \frac{M}{6EI} (x^3 - 3\ell x^2 + 2\ell^2 x)$	$\alpha = \frac{M\ell}{3EI}$ $\beta = \frac{-M\ell}{6EI}$	$f_{\max} = \frac{M\ell^2\sqrt{3}}{27EI}$ pour $x = \ell(1 - \frac{\sqrt{3}}{3})$
	$R_A = P$ $M_A = -Pl$	$-P\ell$ pour $x=0$	$y = \frac{P}{6EI} (3\ell x^2 - x^3)$	$\alpha = 0$ $\beta = \frac{P\ell^2}{2EI}$	$f_{\max} = \frac{P\ell^3}{3EI}$ pour $x = \ell$
	$R_A = P\ell$ $M_A = -\frac{P\ell^2}{2}$	$-\frac{P\ell^2}{2}$ pour $x=0$	$y = \frac{P}{24EI} (6\ell^2 x^2 - 4\ell x^3 + x^4)$	$\alpha = 0$ $\beta = \frac{P\ell^3}{6EI}$	$f_{\max} = \frac{P\ell^4}{8EI}$ pour $x = \ell$
	$R_A = 0$ $M_A = M$	$M = \text{const.}$	$y = \frac{-M}{2EI} x^2$	$\alpha = 0$ $\beta = \frac{-M\ell}{EI}$	$f_{\max} = \frac{-M\ell^2}{2EI}$ Pour $x = \ell$

# Superposition

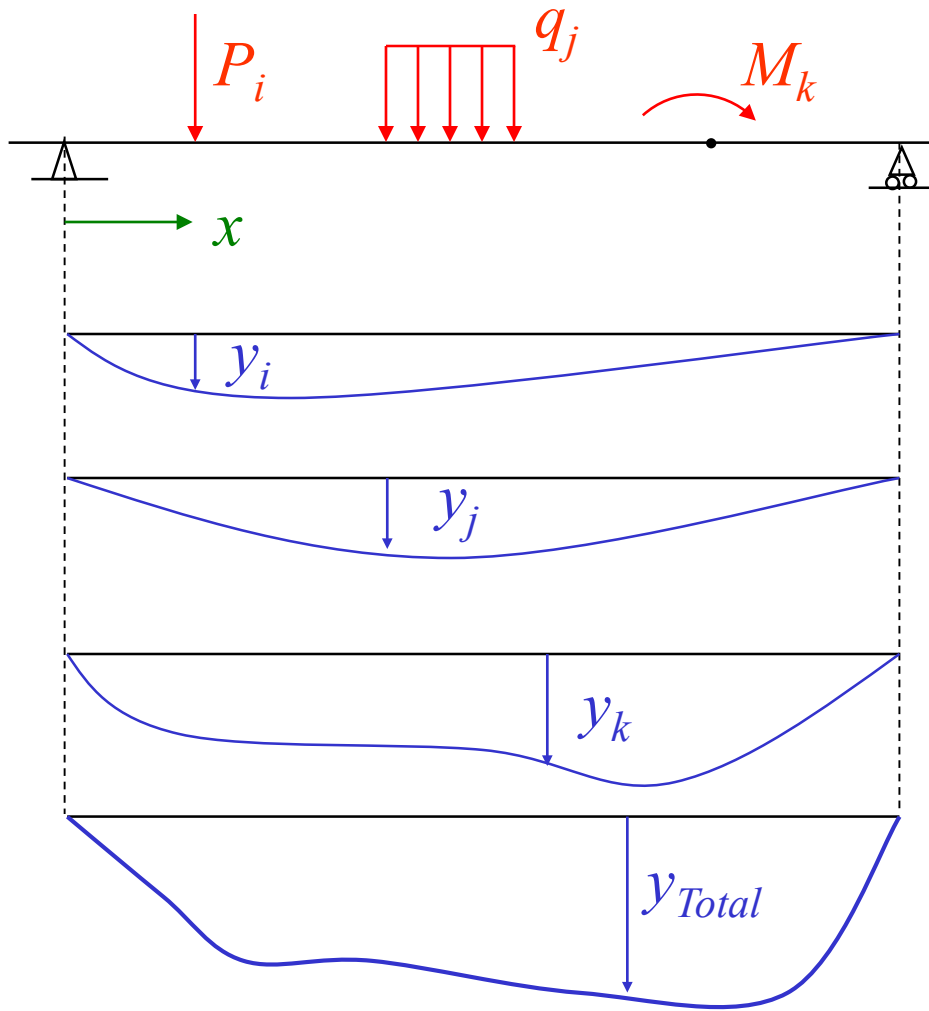
26



- $y_1 = -\frac{P}{6EI} (3lx^2 - x^3) = -\frac{Pl^3}{3EI}$   
 $x = l$
- $y_2 = \frac{q}{24EI} (6l^2x^2 - 4lx^3 + x^4) = \frac{ql^4}{8EI}$   
 $x = l$
- $y_T = y_1 + y_2$

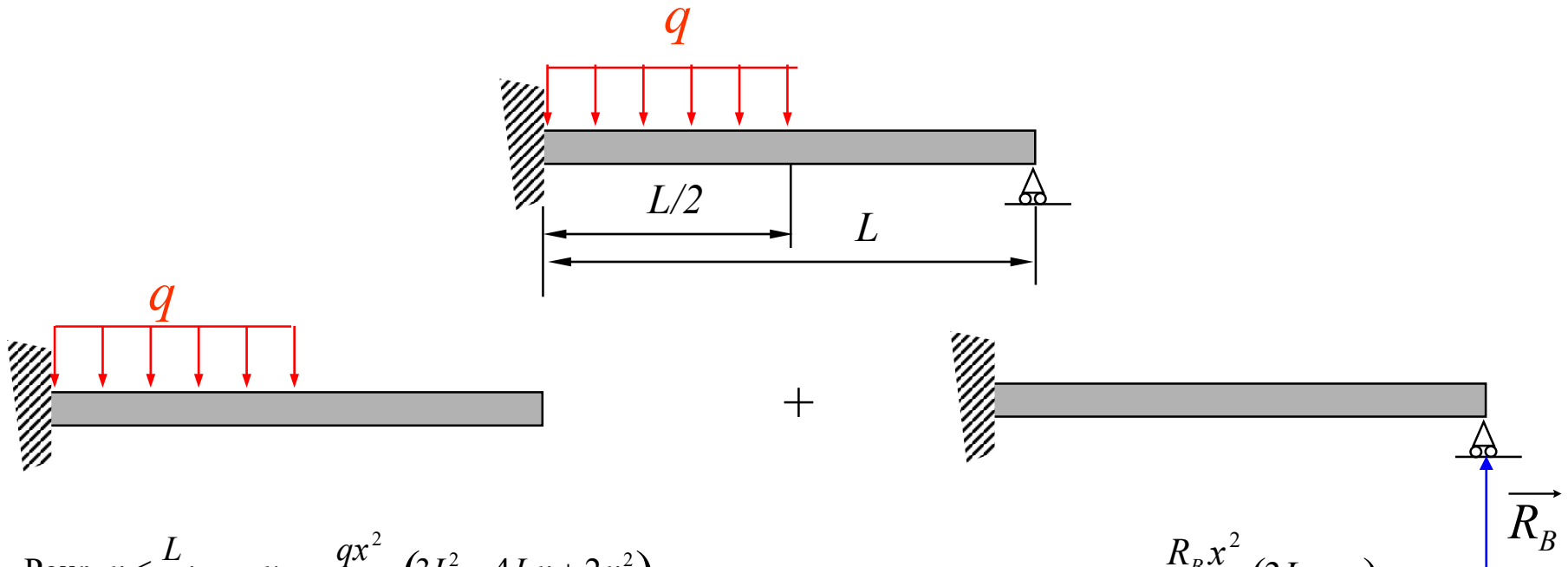
# Superposition des déformations

27



# Poutres hyperstatiques

28



$$\text{Pour } x \leq \frac{L}{2}; \quad y_1 = \frac{qx^2}{48EI} (3L^2 - 4Lx + 2x^2)$$

$$y_3 = -\frac{R_B x^2}{6EI} (3L - x)$$

$$\text{Pour } x \geq \frac{L}{2}; \quad y_2 = \frac{qL^3}{384EI} (8x - L)$$

$$\left. \begin{array}{l} \text{Pour } x < \frac{L}{2}; \quad \rightarrow y_T = y_1 + y_3 \\ \text{Pour } x > \frac{L}{2}; \quad \rightarrow y_T = y_2 + y_3 \end{array} \right\} \text{Conditions aux bords } x = L \rightarrow y_T = 0 \rightarrow R_B = \frac{7qL}{128}; \text{ dans } y_3 \rightarrow y_T$$

Gas de charge	Réactions	Moments fléchissants
(1)	$R_A = -\frac{1}{l_1} (Pb + M_B)$ $R_B = -\frac{Pa}{l_1} + M_B \left( \frac{1}{l_1} + \frac{1}{l_2} \right)$ $R_C = -\frac{M_B}{l_2}$	$M_B = \frac{Pa}{(l_1 + l_2) 2l_1} (l_1^2 - a^2)$ $M_B = -R_A a$
(2)	$R_A = \frac{1}{l_1} (P_1 b_1 + M_B)$ $R_B = -\frac{P_1 a_1}{l_1} - \frac{P_2 b_2}{l_2} + M_B \left( \frac{1}{l_1} + \frac{1}{l_2} \right)$ $R_C = -\frac{1}{l_2} (P_2 a_2 + M_B)$	$M_B = -R_A a_1$ $M_B = \frac{P_1 a_1 (l_1^2 - a_1^2) + P_2 b_2 (l_2^2 - a_2^2)}{2(l_1 + l_2)}$ $M_B = -R_B b_2$
(3)	$R_A = -\frac{P_1 l_1}{2} - \frac{M_B}{l_1}$ $R_B = -\frac{P_1 l_1}{2} - \frac{P_2 l_2}{2} + M_B \left( \frac{1}{l_1} + \frac{1}{l_2} \right)$ $R_C = -\frac{P_2 l_2}{2} - \frac{M_B}{l_2}$	$M_B = -\frac{P_1 l_1^3 + P_2 l_2^3}{8 (l_1 + l_2)}$
(4) a,b,c, ordonnées p en A,B et C	$R_A = -\frac{M_B}{l_1} \frac{l_1 [l_1 (2a+c) + 3al_1]}{6 (l_1 + l_2)}$ $R_B = M_B \left( \frac{1}{l_1} + \frac{1}{l_2} \right) - \frac{1}{6} [l_1 (a+2c) + l_2 (2a+c)]$ $R_C = -\frac{M_B}{l_2} \frac{l_2 [l_2 (a+2c) + 3cl_2]}{6 (l_1 + l_2)}$	$M_B = -\frac{l_1^4 (7a+8b) + l_2^4 (7c+8d)}{120 (l_1 + l_2)}$
(5)	$R_A = \frac{1}{l_1} (\mu - M_B)$ $R_B = M_B \left( \frac{1}{l_1} + \frac{1}{l_2} \right) - \frac{\mu}{l_1}$ $R_C = -\frac{M_B}{l_2}$	$M_B = -\frac{l_1^2 - 3a^2}{l_1 (l_1 + l_2)}$ $M_B = \frac{a}{l_1} (M_B - \mu)$ $M'_B = M_B + \mu$
(6)	$R_A = R_D = \frac{P_1 l_1}{2} - \frac{M_B}{l_1}$ $R_B = R_C = -\frac{P_1 l_1}{2} - \frac{P_2 l_2}{2} + \frac{M_B}{l_1}$	$M_B = M_D = -\frac{P_1 l_1^3 + P_2 l_2^3}{4(2l_1 + 3l_2)}$ $M_B = M_B + \frac{P_2 l_2^3}{8}$ $M_{max} \text{ travées AB et CD} = \frac{R_A^2}{2P_1} = \frac{R_B^2}{2P_2}$ à l'abscisse $x = \frac{l_1}{2} + \frac{M_B}{P_1 l_1}$

Gas de charge	Réactions	Moments fléchissants
(7)	$R_A = -\frac{Pb^4}{2l^3} (3l-b)$ $R_B = -\frac{Pa}{2l^3} (3l^2-a^2)$	$M_A = 0$ $M_B = -\frac{Pab}{2l} \left( 1 + \frac{a}{l} \right)$ $M_B = \frac{Pab^3}{2l^3} (3d-b)$
(8)	$R_A = -\frac{3}{8} pl$ $R_B = -\frac{8}{5} pl$	$M_B = -\frac{pl^3}{8}$ $M_{max} = \frac{l}{2p} R_A^2$ à l'abscisse $x = \frac{3}{8} l$
(9) a et b = ordonnées de p en A et B	$R = -\frac{1}{40} (11a + 4b)$ $R_B = -\frac{1}{40} (9a + 16b)$	$M_B = -\frac{l^8}{120} (70 + 8b)$ $M_{max} = \left( \frac{a+Kx}{3} \right) \frac{x^6}{2} - R_A x$ avec $x = a + \sqrt{a^2 - 2KR_A}$
(10)	$R_A = -\frac{Pb^4}{l^3} (2a+l)$ $R_B = -\frac{Pa^2}{l^3} (2b+l)$	$M_A = -\frac{Pba^3}{l^2}$ $M_B = -\frac{Pad^2}{l^2}$ $M_a = \frac{Pad}{l} \left( 1 - \frac{2a^2}{l^2} \right)$
(11)	$R'_A = R_B = \frac{Pl}{2}$ $Fleche en C :$ $\nu_a = \frac{pl^4}{384 EI}$	$M_A = M_B = -\frac{pl^2}{12}$ $M_C = -\frac{M_A}{2} = \frac{pl^2}{24}$
(12) a et b = ordonnées de p en A et B	$R_A = -\frac{l}{20} (7a + 3b)$ $R_B = -\frac{l}{20} (7b + 3a)$	$M_A = -\frac{l^8}{60} (3a + 2b)$ $M_B = -\frac{l^8}{60} (2a + 3b)$ $M_{max} = \left( a + \frac{Kx}{3} \right) \frac{x^6}{2} - R_A x + M_A$ pour $x = -a + \sqrt{a^2 - 2KR_A}$